

**НЕЛИНЕЙНАЯ ТЕОРИЯ  
АНОМАЛЬНЫХ ТЕМПЕРАТУРНЫХ ПОЛЕЙ  
В ТВЕРДЫХ ТЕЛАХ**

Бочков А. В., Машкевич О. Л.

В работе [1] были предсказаны и исследованы аномальные температурные поля в твердых телах, обусловленные сортировкой носителей тока по энергиям электрон-фононным увлечением. Построенная в ней теория была существенно линейной и предполагала независимость кинетических коэффициентов от температур электронов и фононов.<sup>1</sup> Это накладывает существенные ограничения на перепад температур нагревателя  $T_1$  и холодильника  $T_2$ , приводя к тому, что появляющийся аномально большой по сравнению с  $\Delta T = T_1 - T_2$  перепад электронной температуры  $\Delta T_e$  на границах образца должен быть сам по абсолютной величине много меньше, чем  $T = (T_1 + T_2)/2$ .

В связи с этим представляется интересным выяснить, как скажется на распределении электронной температуры  $T_e$  в образце учет температурной зависимости кинетических коэффициентов. В частности, важно, окажется ли перепад электронной температуры столь же большим по отношению к  $\Delta T$ , как и в линейной теории, поскольку именно этот перепад определяет формирование термоэдс образца.

Сохраняя постановку задачи и обозначения работы [1], ограничимся случаем коротких образцов ( $ka \ll 1$ )<sup>2</sup> и полного электрон-фононного увлечения ( $\delta = 0$ ), когда исследуемые эффекты проявляются наиболее ярко. Отказавшись от предположения  $\Delta T_e \ll T$ , но по-прежнему считая  $\Delta T \ll T$  (в связи с чем и перепад фононной температуры  $\Delta T_p \ll T$ ), учтем в уравнениях баланса энергии [1] зависимость кинетических коэффициентов только от  $T_e$ . Соответствующие зависимости для  $k_p$  и  $k_e$  в случае одного механизма рассеяния импульса электронов имеют следующий вид [2]:

$$k_p = \chi_p (T_e/T)^n, \quad k_e = \chi_e (T_e/T)^{n+1}. \quad (1)$$

Для  $k_{ep}$  методами, описанными в [2], найдем

$$k_{ep} = \chi_{ep} (T_e/T)^{1+n}. \quad (2)$$

Здесь  $n = -\frac{1}{2}$  при рассеянии на деформационном потенциале акустических фононов (*DA*-рассеяние) и  $n = \frac{1}{2}$  при рассеянии на поляризационном потенциале (*PA*-рассеяние).

Решая систему нелинейных уравнений баланса для электронов и фононов, получаем

$$T_e = -2n \frac{\chi_{ep}}{\chi_e} \left( \frac{|T_1 - C_n|^{n+1} + |T_2 - C_n|^{n+1}}{2} + \frac{|T_2 - C_n|^{n+1} - |T_1 - C_n|^{n+1}}{2a} x \right)^{\frac{1}{n+1}}, \quad (3)$$

$$T_p = C_n - \frac{\chi_e}{\chi_{ep}} T_e.$$

Константа  $C_n$  определяется из условия  $\frac{1}{2a} \int\limits_{-a}^a T_e(x) dx = T$  и в общем случае имеет весьма громоздкий вид. Например, в случае *DA*-рассеяния

$$C_{-\frac{1}{2}} = T \left[ 1 - \frac{\chi_e}{\chi_{ep}} \left( 2 - \sqrt{1 - \frac{1}{3} \left( \frac{\chi_{ep}}{\chi_e} \frac{\Delta T}{2T} \right)^2} \right) \right]. \quad (4)$$

<sup>1</sup> Здесь и далее под фононами понимаются акустические фононы.

<sup>2</sup> Формально это соответствует равенству нулю параметра электрон-фононного энергетического взаимодействия  $P$ .

Напомним, что при полном взаимном электрон-фононном увлечении  $|x_{ep}/x_e| \sim 10^3$  и имеет знак, противоположный  $n$  [1].

Полученные температурные распределения изображены на рис. 1 и 2 для случаев DA- и PA-рассеяния соответственно. На них же для сравнения штриховыми линиями приведены зависимости, полученные формально из соотношений (4) работы [1] при тех же температурах  $T_1$  и  $T_2$ .

Из рисунков видно, что теперь градиенты  $T_e$  и  $T_p$  существенно зависят от координат, причем последний возрастает по сравнению с линейным случаем в областях с меньшими  $k_p$  и убывает в областях с большими  $k_p$  [см. (1)]. Градиент же электронной температуры равен  $(-x_{ep}/x_e)\nabla T_p$ .

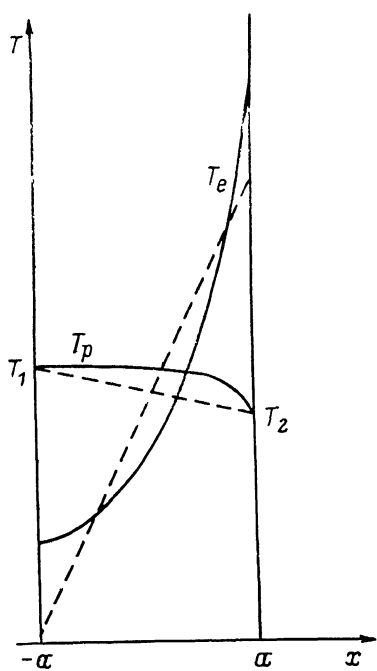


Рис. 1. Распределение температуры в об-разе в случае DA-рассеяния.

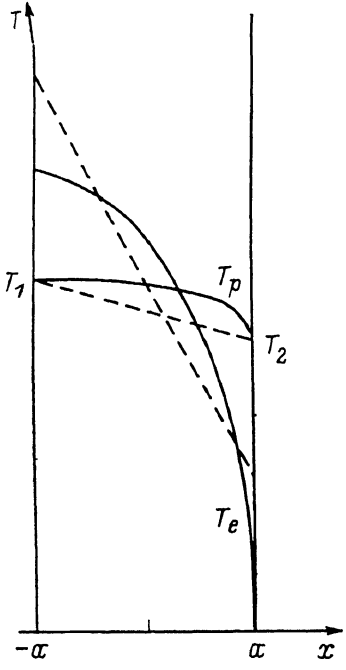


Рис. 2. Распределение температуры в слу-чае PA-рассеяния.

Кроме того, и это наиболее любопытно, значение перепада электронной температуры  $\Delta T_e = |T_e(a) - T_e(-a)|$  для обоих механизмов рассеяния, как в работе [1], определяется соотношением

$$\Delta T_e = |x_{ep}/x_e| \Delta T, \quad (5)$$

справедливом теперь и при  $\Delta T_e \geqslant T$  (при этом  $\Delta T \ll T$ ), т. е. и в этом случае перепад остается аномально большим.

Таким образом, зависимость кинетических коэффициентов от  $T_e$  в сформулированных выше условиях не уменьшает предсказанного в [1] аномального перепада температур.

Отметим следующее обстоятельство. Решения для электронной температуры работы [1] при полном увлечении и достаточно большом  $\Delta T$  приводили к отрицательным значениям  $T_e$ . Учет зависимости кинетических коэффициентов от электронной температуры устранил указанный дефект решения, однако константа  $C_{-1}$ , при  $\Delta T > 2\sqrt{3}|x_e/x_{ep}|T$  становится комплексной. Указанное обстоятельство приводит к выводу, что при больших отрывах температур электронов от фононов сортировка эффективно ослабляется. Анализ показывает, что причинами этого могут быть, с одной стороны, вырождение электронов и уменьшение их концентрации при низких температурах, что ведет к подавлению эффекта фононного увлечения, с другой стороны, температурная зависи-

мость параметра электрон-фононного увлечения  $\delta \sim v_{pd}/v_{pe}$  [3] и параметра энергетического взаимодействия электронов с фононами  $P$ , приводящая при сильном отрыве  $T_e$  от  $T_p$  к необходимости учета энергетического взаимодействия электронов с фононами либо рассеяния фононов на дефектах, что также уменьшает аномальность температурного поля носителей тока.

В заключение авторы выражают искреннюю благодарность Ю. Г. Гуревичу за интерес к работе и полезные дискуссии.

### Л и т е р а т у р а

- [1] Бочков А. В., Гуревич Ю. Г., Машкевич О. Л. — Письма ЖЭТФ, 1985, т. 42, в. 7, с. 281—283.
- [2] Басс Ф. Г., Бочков В. С., Гуревич Ю. Г. Электроны и фононы в ограниченных полупроводниках. М., 1984. 297 с.
- [3] Бочков А. В., Гуревич Ю. Г., Машкевич О. Л. — ФТП, 1986, т. 20, в. 3, с. 572—574.

Харьковский государственный  
университет им. А. М. Горького

Получено 13.07.1987  
Принято к печати 6.11.1987

---

ФТП, том 22, вып. 4, 1988

## МАГНИТАЯ ВОСПРИИМЧИВОСТЬ И ТЕРМОЭДС ВЪЛИЗИ ФАЗОВОГО ПЕРЕХОДА В ТВЕРДОМ РАСТВОРЕ PbTe<sub>1-x</sub>S<sub>x</sub>

Лашкарев Г. В., Бродовой А. В., Радченко М. В., Демин В. Н.,  
Гаськов А. М.

Повышенный интерес исследователей к полупроводниковым твердым растворам на основе соединений A<sup>IV</sup>B<sup>VI</sup> вызван рядом причин. С одной стороны, эти вещества представляют собой перспективные материалы для электронной техники [1], что обусловливает их значительную практическую ценность. С другой стороны, узкощелевые полупроводники обладают уникальными свойствами: сильной зависимостью щели  $E_g$  от состава и температуры, большой статической диэлектрической проницаемостью, смягчением фононного спектра, наличием структурных фазовых переходов, обязанных электрон-фононному и диполь-дипольному взаимодействию, комплекс которых делает чрезвычайно интересными исследования их физических свойств.

Настоящая работа посвящена исследованиям магнитной восприимчивости (МВ)  $\chi$  и термоэдс  $\alpha$  малоизученных в настоящее время узкощелевых полупроводников PbTe<sub>1-x</sub>S<sub>x</sub> ( $x=0.05$ ). Методики измерения  $\chi$  и  $\alpha$  описаны в [2, 3].

Образцы твердых растворов PbTe<sub>1-x</sub>S<sub>x</sub> получены из монокристаллов, выращенных из пара по механизму пар—жидкость—криSTALL [4]. Содержание кислорода в них не превышало  $10^{-4}$  мас % [5]. Плотность дислокаций составила  $(1\frac{1}{2}-2)\cdot 10^5$  см<sup>-2</sup>. Кристаллы разрезали на шайбы толщиной 1—2 мм в направлении  $\langle 100 \rangle$ . Для получения образцов с различной концентрацией носителей  $n$ - и  $p$ -типа шайбы отжигали в условиях равновесия кристалл—пар.

Приведены измерения МВ на пяти образцах PbTe<sub>1-x</sub>S<sub>x</sub> ( $x=0.05$ ) в диапазоне температур 4.2—300 К. На рис. 1 представлена типичная экспериментальная зависимость  $\chi$  ( $T$ ) для образцов с концентрацией носителей тока  $\sim 8.0 \times 10^{17}$  см<sup>-3</sup>. Кривые  $\chi$  ( $T$ ) для кристаллов  $n$ - и  $p$ -типа имеют качественное сходство. МВ во всем диапазоне температур диамагнитна. При  $T \leqslant 40$  К наблюдаются изменение знака  $\partial\chi/\partial T$  и слабый рост парамагнетизма. Исследования МВ, выполненные на монокристаллах PbTe, не обнаружили появления парамагнетизма в области  $T \leqslant 40$  К.